

$$U_{cy}^n(t, \varepsilon) = U_c^n[\infty, \varepsilon] = \bar{R}_H + \bar{R}_i \frac{1 - e^{-\alpha_i}}{1 - e^{-\alpha}} e^{-\bar{\beta}_2 \varepsilon} = \bar{R}_H + A e^{-\bar{\beta}_2 \varepsilon}, \quad (31)$$

$$0 \leq \varepsilon \leq s,$$

$$U_{cy}^n(t, \varepsilon) = U_c^n[\infty, \varepsilon] = 1 - \bar{R}_i \frac{1 - e^{-\alpha_i}}{1 - e^{-\alpha}} e^{-\bar{\beta}_i(\varepsilon - s)} = 1 - B e^{-\bar{\beta}_i(\varepsilon - s)}, \quad (32)$$

$$s \leq \varepsilon \leq 1,$$

где: $A = c(1 - e^{-\alpha_i}),$ (33)

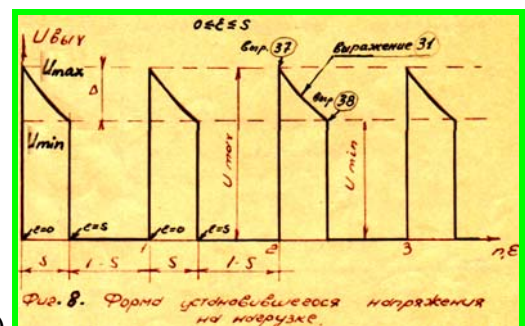
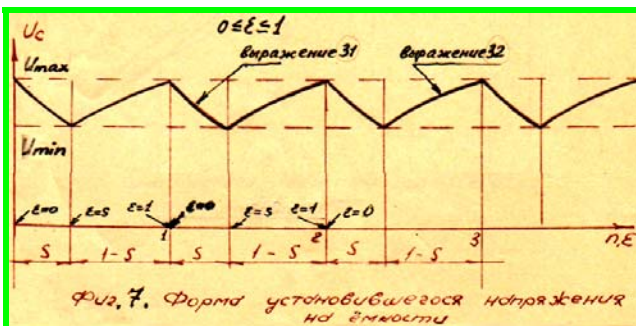
$$B = c(1 - e^{-\alpha_2}),$$

$$c = \frac{\bar{R}_i}{1 - e^{-\alpha}}.$$

1. Установившийся импульсный режим

Режим будет установившимся в случае баланса энергий: энергии, отдаваемой накопителем в нагрузку за время импульса, и энергии, получаемой ёмкостью от источника за время паузы. При этом, как показывают выражения (31) и (32), процессы в установившемся режиме не зависят от начальных условий, т.е. от величины напряжения на ёмкости $U_c(0)$ в момент начала импульсной работы ключа K_1 . Т.к. во время паузы происходит только заряд конденсатора, то как следует из условия баланса энергий, во время импульса происходит только его разряд. Из выражений (31) и (32) видно, что эти процессы протекают по экспоненциальным законам.

Следовательно, в установившемся импульсном режиме напряжение на накопительной ёмкости изменяется пилообразно, пульсирует (фиг.7), а на нагрузке происходит только спад плоской части импульса (фиг.8). При этом согласно условия баланса



Стр.53 (45)

энергий, величина спада импульса будет равна приращению напряжения на емкости во время паузы.

Относительная величина спада импульса δ определяется выражением: *)

$$\delta = \frac{U_{\max} - U_{\min}}{U_{\max}} = \frac{\Delta}{U_{\max}} = \frac{\Delta^*}{U_{\max}^*} = 1 - \xi, \quad (34)$$

где: $\Delta = U_{\max} - U_{\min} = \frac{U_{\max}^* - U_{\min}^*}{E^*} = \frac{\Delta^*}{E^*}, \quad (35)$

$$\xi = \frac{U_{\min}}{U_{\max}} = \frac{U_{\min}^*}{U_{\max}^*}. \quad (36)$$

Как видно из фиг. 6, максимальное значение напряжения U_{\max} достигается при $\varepsilon = 0$, а минимальное - при $\varepsilon = S$. Подставляя эти значения ε в (31), получим:

$$U_{\max} = \bar{R}_H + \bar{R}_i \frac{1 - e^{-\alpha_i}}{1 - e^{-\alpha}} = \bar{R}_H + A, \quad (37)$$

$$U_{\min} = \bar{R}_H + \bar{R}_i \frac{1 - e^{-\alpha_i}}{1 - e^{-\alpha}} e^{-\alpha_2} = \bar{R}_H + A e^{-\alpha_2}. \quad (38)$$

Эти выражения полностью совпадают с выражениями (42), (43) отчёта часть I, выведенных на базе уравнений (9) и (14) для непрерывных стационарных режимов. Причём всегда имеет место следующее неравенство: $1 = E > U_{\max} > U_{\min} > E_2 = \bar{R}_H$.

*) Напомним, что знаком * обозначены абсолютные значения величин.

2) Переходный импульсный процесс.

При фиксированном ε из выражений (26), (27) легко усматривается общий характер переходного процесса. В зависимости от аргумента n напряжение на ёмкости в дискретные моменты времени, соответствующие выбранному ε , изменяется также ^{как в интервалах импульса и паузы} по экспоненциальному закону. Наглядно эта закономерность общего характера процесса может быть представлена при помощи "оггибающих", представляющих собой кривые, которые проходят через дискретные значения напряжения на ёмкости в моменты времени, соответствующие переднему и заднему фронтам. По аналогии с установившимся импульсным режимом эти "оггибающие" можно представить как кривые, проходящие через максимальные $U_{max}[n] = U_c[n, 0]$ и минимальные $U_{min}[n] = U_c[n, S]$ значения напряжения на ёмкости (на нагрузке). Уравнения "оггибающей максимумов" и "оггибающей минимумов" ^{х)} могут быть найдены из выражения (26) соответственно при $\varepsilon = 0$ и $\varepsilon = S$. С учётом выражений (33) и (17) получим:

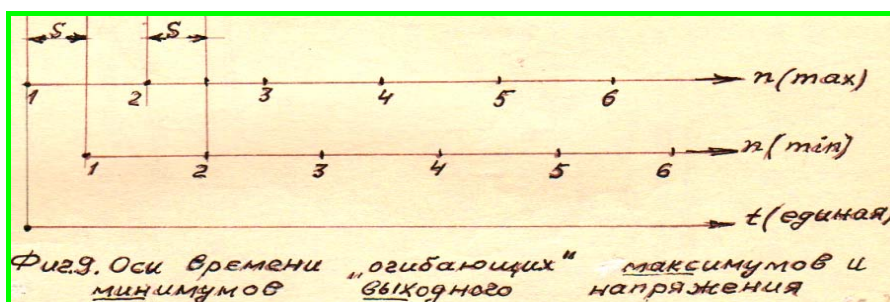
$$U_{max}[n] = \bar{R}_H + A + [U_c(0) - (\bar{R}_H + A)]e^{-\alpha n} = \tag{39}$$

$$= U_{max} - [U_{max} - U_c(0)]e^{-\alpha n},$$

$$U_{min}[n] = \bar{R}_H + Ae^{-\alpha_2} + [U_c(0) - (\bar{R}_H + A)]e^{-\alpha_2}e^{-\alpha(n-S)} = \tag{40}$$

$$= U_{min} + e^{-\alpha_2} [U_c(0) - U_{max}]e^{-\alpha n}.$$

х) Обозначения "оггибающая максимумов", "оггибающая минимумов" принимается для удобства, это чисто условные обозначения, т.к., например, в случае, когда напряжение в начальный момент очередного импульса $U_c(0) < E_2 = E \frac{R_H}{R_1 + R_H} = E \bar{R}_H$ для одного и того же n максимальное значение меньше минимального.



Стр. 54 (46)

3. Анализ "оггибающих" переходного импульсного режима.

Прежде чем перейти к анализу выражений (39) и (40) для "оггибающих" отметим следующее.

В этих выражениях параметр n является целочисленным аргументом ($n = 0, 1, 2, 3, \dots$). Однако, относительно единого начала оси времени \bar{t} значение $n=0$ выражения (39) соответствует $\bar{t} = 0$, а значение $n=0$ выражения (40) соответствует $\bar{t} = s$. Т.е. значения n в выпр. (40) сдвинуты на временной оси на величину s относительно соответствующих значений n на выражения (39) (фиг.9). Это и понятно, т.к. выпр. (39) и (40) получены из одного и того же уравнения (26) для разных, фиксированных по времени значений ϵ , сдвинутых на величину s .

Приведенные к единому началу временной оси \bar{t} выражения "оггибающих" максимумов и минимумов примут соответственно вид:

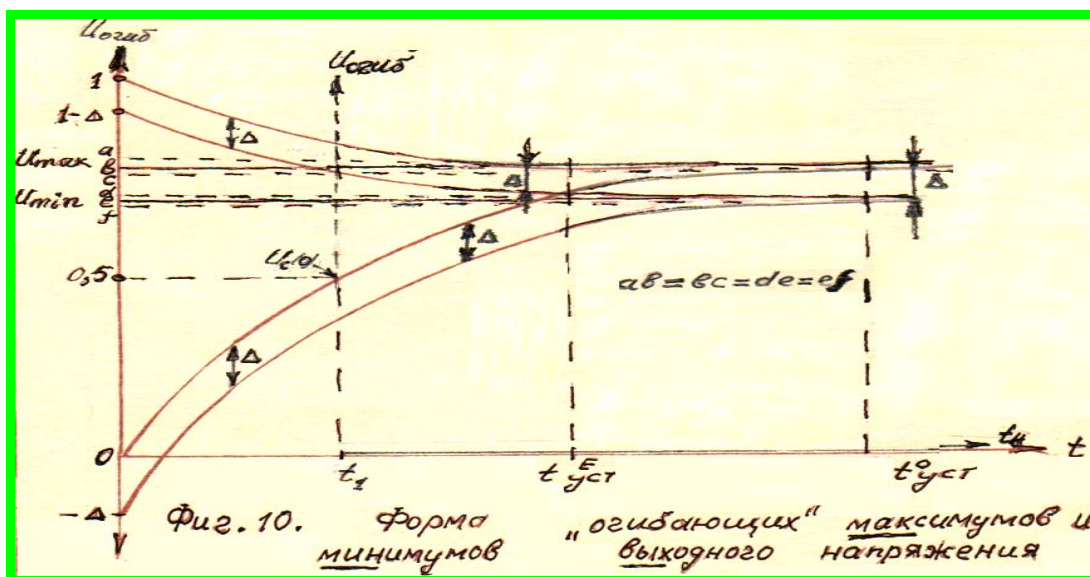
$$U_{\max}[n]_{\bar{t}} = U_{\max} - [U_{\max} - U_c(t_0)] e^{-\alpha n}, \quad (41)$$

$$U_{\min}[n]_{\bar{t}} = U_{\min} + e^{-\alpha s} [U_c(t_0) - U_{\max}] e^{-\alpha n} \cdot e^{-\alpha s} \Big|_{\alpha s = \alpha_3} = \\ = U_{\min} - [U_{\max} - U_c(t_0)] e^{-\alpha n}. \quad (42)$$

Найдём характерные точки этих "оггибающих".

Вторые слагаемые правых частей выражений (41) и (42) одинаковы. Тогда разность значений "оггибающих" по оси ординат как функция времени будет равна:

$$\Delta U(t) = U_{\max} - U_{\min} = \Delta. \quad (43)$$



Следовательно, в любой момент времени разность между "огibaющими" максимумом и минимумом независимо от начальных условий равна абсолютному значению спада плоской части установившегося импульса. Отсюда вытекает следующее:

Для граничных начальных условий ^{выражения} "огibaющих" примут вид:

$$\left. \begin{aligned} U_{\max}^0 [n]_{\bar{t}} &= U_{\max} (1 - e^{-\alpha n}) \\ U_{\min}^0 [n]_{\bar{t}} &= U_{\min} - U_{\max} e^{-\alpha n} \end{aligned} \right\} \text{ для } U_c(0) = 0 \quad (44)$$

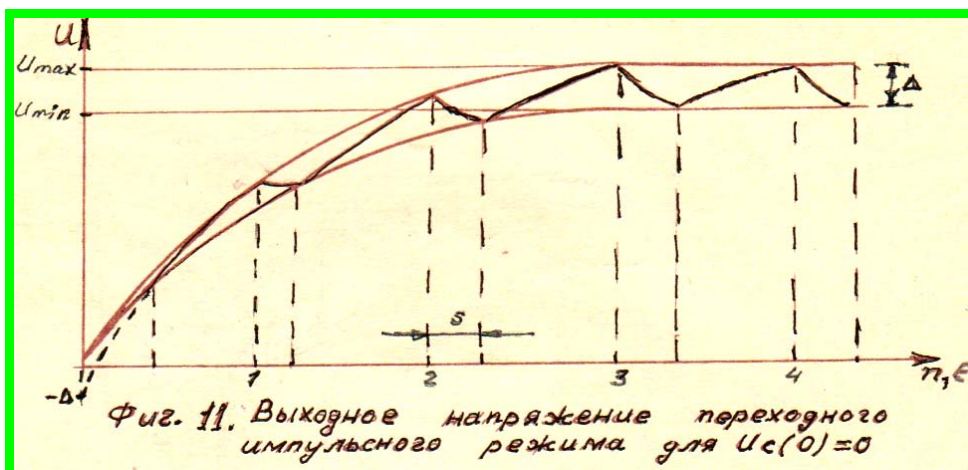
$$\left. \begin{aligned} U_{\max}^E [n]_{\bar{t}} &= U_{\max} + (1 - U_{\max}) e^{-\alpha n} \\ U_{\min}^E [n]_{\bar{t}} &= U_{\min} + (1 - U_{\max}) e^{-\alpha n} \end{aligned} \right\} \text{ для } U_c(0) = E = 1 \quad (45)$$

Для момента времени $\bar{t} = 0$ выражения (44) и (45) дают следующие начальные значения "огibaющих"

$$U_{\max}^0 [0]_{\bar{t}} = 0; \quad U_{\min}^0 [0]_{\bar{t}} = -\Delta, \quad (46)$$

$$U_{\max}^E [0]_{\bar{t}} = 1; \quad U_{\min}^E [0]_{\bar{t}} = 1 - \Delta. \quad (47)$$

При нулевых начальных условиях "огibaющая максимумов" выходит из начала принятой системы координат. "Огibaющая минимумов" имеет условное начало координат, сдвинутое по отрицательной оси ординат на величину Δ . Однако уровень



Со стр. 54 (46)

Продолжение следует.